

# Algèbres de Hopf des permutations et des objets de Baxter

Samuele Giraud

Université de Marne-la-Vallée

Journées junior LIPN

1er mars 2011

# Plan de l'exposé

## L'algèbre de Hopf des permutations

- Structure d'algèbre associative

- Structure de cogèbre

- Structure d'algèbre de Hopf combinatoire

- Exemples de sous-algèbres de Hopf

## L'algèbre de Hopf de Baxter

- La famille combinatoire de Baxter

- Le monoïde de Baxter

- Une correspondance du type Robinson-Schensted

- L'algèbre de Hopf de Baxter

# Plan de la suite de l'exposé

L'algèbre de Hopf des permutations

Structure d'algèbre associative

Structure de cogèbre

Structure d'algèbre de Hopf combinatoire

Exemples de sous-algèbres de Hopf

# L'espace vectoriel des permutations

Soit  $\mathbf{FQSym}_n$  le  $\mathbb{Q}$ -espace vectoriel basé sur les permutations de  $\{1, \dots, n\}$  et

$$\mathbf{FQSym} := \bigoplus_{n \geq 0} \mathbf{FQSym}_n,$$

l'espace vectoriel des permutations.

Ses éléments peuvent être vus par l'intermédiaire de sa **base fondamentale**  $\{\mathbf{F}_\sigma\}_{\sigma \in \mathfrak{S}}$ .

Cette structure peut être enrichie au point de former l'algèbre de Hopf des **fonction quasi-symétriques libres** (connue également sous le nom d'algèbre de Hopf de Malvenuto-Reutenauer).

# Le produit de **FQSym**

**FQSym** est muni du produit de mélange décalé :

$$\mathbf{F}_\sigma \cdot \mathbf{F}_\nu := \sum_{\pi \in \sigma \overline{\sqcup} \nu} \mathbf{F}_\pi.$$

Par exemple :

$$\mathbf{F}_{12} \cdot \mathbf{F}_{21} = \mathbf{F}_{1243} + \mathbf{F}_{1423} + \mathbf{F}_{1432} + \mathbf{F}_{4123} + \mathbf{F}_{4132} + \mathbf{F}_{4312}.$$

- ▶ Ce produit est associatif,
- ▶ admet  $\mathbf{F}_\epsilon$  comme élément neutre,
- ▶ et est gradué :  $\cdot : \mathbf{FQSym}_n \otimes \mathbf{FQSym}_m \rightarrow \mathbf{FQSym}_{n+m}$ .

$(\mathbf{FQSym}, \cdot)$  est donc une algèbre associative unitaire graduée.

# Réalisation polynomiale de **FQSym**

Soit  $A := \{a_1 < a_2 < \dots\}$  un alphabet infini et totalement ordonné, et l'application

$$r_A : \mathbf{FQSym} \rightarrow \mathbb{Q}\langle A \rangle,$$

définie par :

$$r_A(\mathbf{F}_\sigma) := \sum_{\substack{u \in A^* \\ \text{std}(u) = \sigma^{-1}}} u.$$

## Théorème

*[Duchamp, Hivert, Thibon, 2002]*

L'application  $r_A$  est un morphisme injectif de l'algèbre **FQSym** vers l'algèbre associative libre  $\mathbb{Q}\langle A \rangle$ .

# Réalisation polynomiale de **FQSym**

Les éléments de **FQSym** peuvent donc être encodés par des **polynômes**.  
Par exemple :

$$r_A(\mathbf{F}_\epsilon) = 1,$$

$$r_A(\mathbf{F}_1) = \sum_{a \in A} a = a_1 + a_2 + a_3 + \dots ,$$

$$r_A(\mathbf{F}_{312}) = \sum_{a < b < c \in A} bca + \sum_{a < b \in A} bba = a_2 a_3 a_1 + a_2 a_2 a_1 + \dots .$$

- ▶ On peut voir un polynôme  $r_A(\mathbf{F}_\sigma)$  comme le **langage** des mots qui peuvent être **triés** par  $\sigma$  par action à droite.
- ▶ L'élément  $\mathbf{F}_\pi$  apparaît dans un produit  $\mathbf{F}_\sigma \cdot \mathbf{F}_\nu$  s'il existe un mot  $u.v$  triable par  $\pi$  tel que  $u$  est triable par  $\sigma$  et  $v$  par  $\nu$ .

# Le permutoèdre droit

La permutation  $uabv$  est couverte par  $ubav$  pour l'ordre du permutoèdre droit  $\leq_P$  si  $a < b$ .

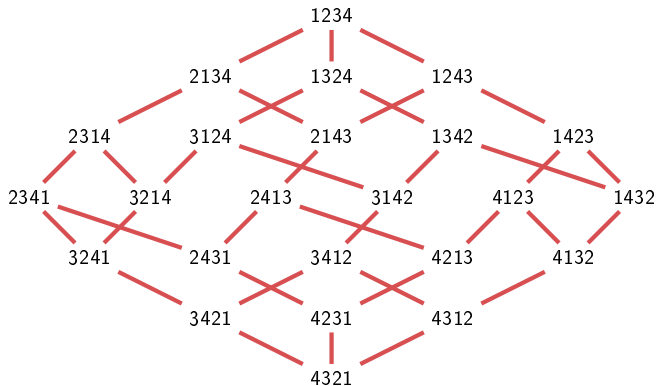


Figure: Le permutoèdre droit d'ordre 4.



# Bases multiplicatives de **FQSym**

L'ordre du permutoèdre permet de construire des nouvelles bases de **FQSym**. Soient les éléments :

$$\mathbf{E}_\sigma := \sum_{\sigma \leq \mathbf{P}\nu} \mathbf{F}_\nu \quad \text{et} \quad \mathbf{H}_\sigma := \sum_{\nu \leq \mathbf{P}\sigma} \mathbf{F}_\nu.$$

Par **triangularité**, les familles  $\{\mathbf{E}_\sigma\}_{\sigma \in \mathfrak{S}}$  et  $\{\mathbf{H}_\sigma\}_{\sigma \in \mathfrak{S}}$  forment des bases de **FQSym**.

Ce sont aussi des **bases multiplicatives** car

$$\mathbf{E}_\sigma \cdot \mathbf{E}_\nu = \mathbf{E}_{\sigma/\nu} \quad \text{et} \quad \mathbf{H}_\sigma \cdot \mathbf{H}_\nu = \mathbf{H}_{\sigma \setminus \nu}.$$

# Bases multiplicatives de **FQSym**

Par exemple :

$$\mathbf{E}_{312} = \mathbf{F}_{312} + \mathbf{F}_{321},$$

$$\mathbf{E}_{2413} = \mathbf{F}_{2413} + \mathbf{F}_{2431} + \mathbf{F}_{4213} + \mathbf{F}_{4231} + \mathbf{F}_{4321},$$

$$\mathbf{E}_{2413} \cdot \mathbf{E}_{312} = \mathbf{E}_{2413/312} = \mathbf{E}_{2413756} ;$$

$$\mathbf{H}_{312} = \mathbf{F}_{123} + \mathbf{F}_{132} + \mathbf{F}_{312},$$

$$\mathbf{H}_{2413} = \mathbf{F}_{1234} + \mathbf{F}_{1243} + \mathbf{F}_{1324} + \mathbf{F}_{2134} + \mathbf{F}_{2143} + \mathbf{F}_{2413},$$

$$\mathbf{H}_{2413} \cdot \mathbf{H}_{312} = \mathbf{H}_{2413 \setminus 312} = \mathbf{H}_{7562413}.$$

# Plan de la suite de l'exposé

## L'algèbre de Hopf des permutations

Structure d'algèbre associative

**Structure de cogèbre**

Structure d'algèbre de Hopf combinatoire

Exemples de sous-algèbres de Hopf

## Le coproduit de **FQSym**

**FQSym** est muni du coproduit de **déconcaténation** :

$$\Delta(\mathbf{F}_\sigma) := \sum_{u \cdot v = \sigma} \mathbf{F}_{\text{std}(u)} \otimes \mathbf{F}_{\text{std}(v)}.$$

Par exemple,

$$\Delta(\mathbf{F}_{4123}) = \mathbf{F}_\epsilon \otimes \mathbf{F}_{4123} + \mathbf{F}_1 \otimes \mathbf{F}_{123} + \mathbf{F}_{21} \otimes \mathbf{F}_{12} + \mathbf{F}_{312} \otimes \mathbf{F}_1 + \mathbf{F}_{4123} \otimes \mathbf{F}_\epsilon.$$

- ▶ Ce coproduit est **coassociatif**,
- ▶ et est **gradu ** :  $\Delta : \mathbf{FQSym}_n \rightarrow \bigoplus_{i+j=n} \mathbf{FQSym}_i \otimes \mathbf{FQSym}_j$ .

$(\mathbf{FQSym}, \Delta)$  est donc une cog bre coassociative gradu e.

## Le coproduit de **FQSym**

Le coproduit  $\Delta(\mathbf{F}_\sigma)$  contient les éléments  $\mathbf{F}_\nu \otimes \mathbf{F}_\pi$  tels que  $\nu$  permet de trier les  $|\nu|$ -ièmes plus petites lettres des mots qui apparaissent dans  $r_A(\mathbf{F}_\sigma)$  et  $\pi$  permet de trier les lettres plus grandes restantes.

Par exemple, le polynôme  $r_A(\mathbf{F}_{4123})$  contient les mots de la forme  $bcda$  avec  $a < b \leq c \leq d$ . En reprenant l'exemple précédent :

| $\Delta(\mathbf{F}_{4123})$               | petit sous-mot | grand sous-mot |
|---|----------------|----------------|
| $\mathbf{F}_1 \otimes \mathbf{F}_{123}$   | a              | bcd            |
| $\mathbf{F}_{21} \otimes \mathbf{F}_{12}$ | ba             | cd             |
| $\mathbf{F}_{312} \otimes \mathbf{F}_1$   | bca            | d              |

# Le coproduit de **FQSym**

Soient  $A := \{a_1 < a_2 < \dots\}$  et  $B := \{b_1 < b_2 < \dots\}$  deux alphabets totalement ordonnés **commutant mutuellement**. On pose

$$A + B := \{a_1 < a_2 < \dots < b_1 < b_2 < \dots\}$$

la **somme ordinale** de  $A$  et  $B$ .

On peut aussi définir le coproduit de **FQSym** par **doublément d'alphabet**, à savoir :

$$\Delta(r_A(\mathbf{F}_\sigma)) := r_{A+B}(\mathbf{F}_\sigma) \in \mathbb{Q}\langle A + B \rangle \simeq \mathbb{Q}\langle A \rangle \otimes \mathbb{Q}\langle B \rangle \simeq \mathbb{Q}\langle A \rangle \otimes \mathbb{Q}\langle A \rangle.$$

## Proposition

*[Duchamp, Hivert, Thibon, 2002]*

*Ces deux définitions fournissent un même coproduit dans **FQSym**.*

# Plan de la suite de l'exposé

## L'algèbre de Hopf des permutations

Structure d'algèbre associative

Structure de cogèbre

**Structure d'algèbre de Hopf combinatoire**

Exemples de sous-algèbres de Hopf

# L'algèbre de Hopf combinatoire **FQSym**

La définition par doublement d'alphabet du coproduit implique que  $\Delta$  est un **morphisme d'algèbre**, c'est à dire :

$$\Delta(\mathbf{F}_\sigma \cdot \mathbf{F}_\nu) = \Delta(\mathbf{F}_\sigma) \cdot \Delta(\mathbf{F}_\nu).$$

**FQSym** est donc une bigèbre.

Celle-ci, étant de plus graduée et connexe, est une **algèbre de Hopf**.

On utilise l'appellation heuristique d'**algèbre de Hopf combinatoire (AHC)** pour une algèbre de Hopf graduée, connexe et basée sur des objets combinatoires.



# Plan de la suite de l'exposé

## L'algèbre de Hopf des permutations

Structure d'algèbre associative

Structure de cogèbre

Structure d'algèbre de Hopf combinatoire

Exemples de sous-algèbres de Hopf

## Sous-AHC de **FQSym**

**FQSym** est suffisamment large pour contenir beaucoup d'autres AHC, en tant que quotients ou en tant que sous-AHC :

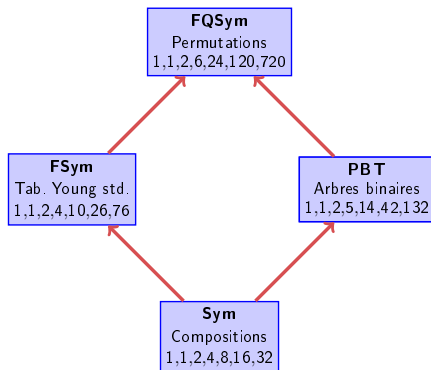


Figure: Quelques sous-AHC de **FQSym**.

# Construction de $\mathbb{F}\text{Sym}$

Soit  $u$  un mot. On note  $\mathbb{P}(u)$  le  $\mathbb{P}$ -symbole issu de l'insertion de  $u$  selon l'algorithme de Robinson-Schensted.

Par exemple :

$$\mathbb{P}(23311) = \begin{array}{|c|c|} \hline 2 & 3 \\ \hline 1 & 1 \\ \hline \end{array} \begin{array}{|c|} \hline 3 \\ \hline \end{array}.$$

## Définition

La *relation d'équivalence plaxique*  $\equiv_{\mathbb{P}}$  est la clôture réflexive et transitive de la relation  $\equiv$  définie par :

$$\dots \text{acb} \dots \equiv \dots \text{cab} \dots \quad \text{si } a \leq b < c,$$

$$\dots \text{bac} \dots \equiv \dots \text{bca} \dots \quad \text{si } a < b \leq c.$$

# Construction de **FSym**

Par exemple, la classe plaxique de 12354 est

$$\{12354, 12534, 15234, 51234\}.$$

## Théorème

[Knuth, 1970]

$$\mathbb{P}(u) = \mathbb{P}(v) \quad \text{ssi} \quad u \equiv_{\mathbb{P}} v.$$

La relation  $\equiv_{\mathbb{P}}$  est aussi une congruence pour la concaténation.  $A^*/\equiv_{\mathbb{P}}$  est donc un monoïde. C'est le **monoïde plaxique**.

# Construction de **FSym**

Pour tout **tableau de Young standard**  $t$ , on définit l'élément  $\mathbf{P}_t$  de **FQSym** par :

$$\mathbf{P}_t := \sum_{\substack{\sigma \in \mathfrak{S} \\ \mathbb{P}(\sigma) = t}} \mathbf{F}_\sigma.$$

Par exemple :

$$\mathbf{P}_\emptyset = \mathbf{F}_\epsilon,$$

$$\mathbf{P}_{\boxed{1}} = \mathbf{F}_1,$$

$$\mathbf{P}_{\begin{array}{|c|c|c|c|} \hline 5 & & & \\ \hline 1 & 2 & 3 & 4 \\ \hline \end{array}} = \mathbf{F}_{12354} + \mathbf{F}_{12534} + \mathbf{F}_{15234} + \mathbf{F}_{51234}.$$

# Construction de **FSym**

## Théorème

*L'espace vectoriel engendré par la famille  $\{\mathbf{P}_t\}_{t \in \mathcal{T}}$  forme une sous-AHC de **FQSym**.*

L'AHC engendrée est **FSym** (pour *fonctions symétriques libres*).

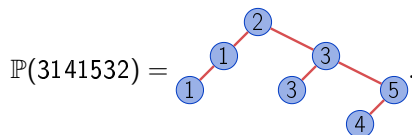
En effet, l'*image commutative* du polynôme  $r_A(\mathbf{P}_t)$  est la *fonction de Schur*  $s_\lambda$  où  $\lambda$  est la forme de  $t$ .

# Construction de PBT

L'algorithme d'insertion dans un **arbre binaire de recherche** fournit un **analogue** de l'algorithme de **Robinson-Schensted**.

Soit  $u$  un mot. On note  $\mathbb{P}(u)$  l'arbre binaire de recherche obtenu en insérant les lettres de  $u$  de droite à gauche.

Par exemple :



# Construction de PBT

## Définition

La *relation d'équivalence sylvestre*  $\equiv_S$  est la clôture réflexive et transitive de la relation  $\equiv$  définie par :

$$\dots a c u b \dots \equiv \dots c a u b \dots \quad \text{si } a \leq b < c.$$

## Théorème

[Hivert, Novelli, Thibon, 2005]

$$\mathbb{P}(u) = \mathbb{P}(v) \quad \text{ssi} \quad u \equiv_S v.$$

Ici aussi, la relation  $\equiv_S$  est une congruence pour la concaténation.  $A^*/\equiv_S$  est donc un monoïde. C'est le *monoïde sylvestre*.



# Construction de **PBT**

Pour tout **arbre binaire**  $T$  (non étiqueté ou étiqueté par une permutation), on définit l'élément  $\mathbf{P}_T$  de **FQSym** par :

$$\mathbf{P}_T := \sum_{\substack{\sigma \in \mathfrak{S} \\ \mathbb{P}(\sigma) = T}} \mathbf{F}_\sigma.$$

Par exemple :

$$\mathbf{P}_\perp = \mathbf{F}_\epsilon,$$

$$\mathbf{P}_{\circlearrowleft} = \mathbf{F}_1,$$

$$\mathbf{P}_{\begin{array}{c} \circ \\ \diagup \quad \diagdown \\ \circ \quad \circ \end{array}} = \mathbf{F}_{1342} + \mathbf{F}_{3142} + \mathbf{F}_{3412}.$$

# Construction de **PBT**

## Théorème

*[Hivert, Novelli, Thibon, 2005]*

*L'espace vectoriel engendré par la famille  $\{\mathbf{P}_T\}_{T \in \mathcal{AB}}$  forme une sous-AHC de **FQSym**.*

C'est l'AHC **PBT** (également connue sous le nom d'algèbre de Loday-Ronco).

Quelques propriétés notables :

- ▶ **PBT** est libre et autoduale ;
- ▶ **PBT** est l'algèbre dendriforme libre sur le générateur  $\mathbf{P}_\circ$ .

# Construction de **Sym**

## Définition

La *relation d'équivalence hypoplaxique*  $\equiv_H$  est la clôture réflexive et transitive de la relation  $\equiv$  définie par :

$$\begin{aligned} \dots a c u b \dots &\equiv \dots c a u b \dots && \text{si } a \leq b < c, \\ \dots b u c a \dots &\equiv \dots b u a c \dots && \text{si } a < b \leq c. \end{aligned}$$

En particulier, deux permutations  $\sigma$  et  $\nu$  sont **équivalentes** ssi elles ont les mêmes **reculs**. Par exemple :

$$\text{Rec}(461532) = \{2, 3, 5\} \quad \text{et} \quad \text{Rec}(436512) = \{2, 3, 5\},$$

et donc  $461532 \equiv_H 436512$ .

## Construction de **Sym**

La relation  $\equiv_H$  étant une congruence pour la concaténation,  $A^*/\equiv_H$  est un monoïde. C'est le **monoïde hypoplaxique**.

Soit  $C := (c_1, \dots, c_k)$  une composition. On note

$$\text{Rec}(C) := \{c_1 + \dots + c_i : 1 \leq i \leq k - 1\}.$$

Par exemple,  $\text{Rec}(21334) = \{2, 3, 6, 9\}$ .

Pour toute **composition**  $C$ , on définit l'élément  $\mathbf{P}_C$  de **FQSym** par :

$$\mathbf{P}_C := \sum_{\substack{\sigma \in \mathfrak{S} \\ \text{Rec}(\sigma) = \text{Rec}(C)}} \mathbf{F}_\sigma.$$

# Construction de **Sym**

On a par exemple :

$$P_{\epsilon} = F_{\epsilon},$$

$$P_{112} = F_{3214} + F_{3241} + F_{3421},$$

$$P_{13} = F_{2134} + F_{2314} + F_{2341},$$

$$P_7 = F_{1234567}.$$

Le produit s'exprime très simplement :

$$P_{C_0} \cdot P_{C_1} = P_{C_0 \cdot C_1} + P_{C_0 \triangleright C_1}.$$

Par exemple :

$$P_{112} \cdot P_{13} = P_{11213} + P_{1133}.$$

# Construction de **Sym**

## Théorème

L'espace vectoriel engendré par la famille  $\{\mathbf{P}_C\}_{C \in \mathcal{C}}$  forme une sous-AHC de **FQSym**.

C'est l'AHC **Sym** des fonctions symétriques non-commutatives.

Son dual est *QSym*, l'AHC des fonctions quasi-symétriques.

De plus,

- ▶ **Sym** n'est pas autoduale (*QSym* est commutative mais **Sym** ne l'est pas) ;
- ▶ Les images commutatives des polynômes  $r_A(\mathbf{P}_C)$  engendrent l'algèbre des fonctions symétriques.

# AHC et structures combinatoires

L'étude des sous-AHC de **FQSym** mène souvent à la construction d'autres [structures combinatoires](#) :

| AHC          | Monoïde      | Alg. insertion | Ordre partiel      |
|--------------|--------------|----------------|--------------------|
| <b>FQSym</b> | trivial      | trivial        | permutoèdre        |
| <b>FSym</b>  | plaxique     | R-S            | ordre de Reiner    |
| <b>PBT</b>   | sylvestre    | abr            | treillis de Tamari |
| <b>Sym</b>   | hypoplaxique | Krob-Thibon    | hypercube          |

# Plan de la suite de l'exposé

## L'algèbre de Hopf de Baxter

La famille combinatoire de Baxter

Le monoïde de Baxter

Une correspondance du type Robinson-Schensted

L'algèbre de Hopf de Baxter



# Objets de Baxter

## Définition

Une permutation  $\sigma$  est *de Baxter* [Baxter, 1964] si elle évite les motifs généralisés  $2 - 41 - 3$  et  $3 - 14 - 2$ .

Exemples :

- ▶  $561382479$  n'est pas de Baxter ;
- ▶  $\epsilon, 1, 1234, 2143$  sont de Baxter.

# Objets de Baxter

Permutations de Baxter dénombrées [Chung et al., 1978] par :

$$b_n = \sum_{k=1}^n \frac{\binom{n+1}{k-1} \binom{n+1}{k} \binom{n+1}{k+1}}{\binom{n+1}{1} \binom{n+1}{2}}.$$

[Sloane, A001181] : 1, 1, 2, 6, 22, 92, 422, 2074, 10754, ...

C'est aussi le nombre

- ▶ de couples d'arbres binaires jumeaux [Dulucq, Guibert, 1994] ;
- ▶ de partitions rectangulaires [Yao et al., 2003] ;
- ▶ d'orientations planes bipolaires [Bousquet-Mélou et al., 2010] ;

et bien d'autres objets.

## Canopée d'un arbre binaire

La **canopée** d'un arbre binaire  $T$  est le mot sur  $\{0,1\}$  obtenu en parcourant les feuilles de  $T$  de la gauche vers la droite, en associant pour chacune d'entre elles, excepté la première et la dernière, la lettre 0 si la feuille considérée est orientée vers la droite, la lettre 1 sinon.

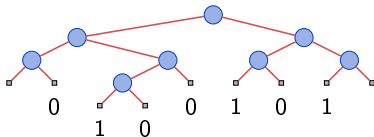


Figure: La canopée de cet arbre binaire est 0100101.

# Couples d'arbres binaires jumeaux

Un couple  $(T_L, T_R)$  d'arbres binaires est un **couple d'arbres binaires jumeaux** si les canopées de  $T_L$  et de  $T_R$  sont complémentaires.

## Théorème

*[Dulucq, Guibert, 1994]*

*L'ensemble des couples d'arbres binaires jumeaux à  $n$  nœuds est en bijection avec l'ensemble des permutations de Baxter de taille  $n$ .*

# Plan de la suite de l'exposé

## L'algèbre de Hopf de Baxter

La famille combinatoire de Baxter

**Le monoïde de Baxter**

Une correspondance du type Robinson-Schensted

L'algèbre de Hopf de Baxter

# Motivation de la construction

Involution de Schützenberger  $\#$  sur une permutation  $\sigma$  : image miroir de  $\sigma$  puis complémentation de ses lettres. Par exemple :

- ▶  $(123)^\# = 123$  ;
- ▶  $(4312)^\# = 3421$ .

## Remarque

Le monoïde hypoplaxique, à la base de la construction de **Sym**, provient de la définition de la relation  $\equiv_H$ . Celle-ci vérifie

$$\sigma \equiv_H \nu \quad \text{ssi} \quad \sigma \equiv_S \nu \quad \text{ou} \quad \sigma^\# \equiv_S \nu^\#.$$

## Question

Qu'obtient-on si l'on *remplace* le précédent **ou** par un **et** ?

# Le monoïde de Baxter

## Définition

La *relation d'équivalence de Baxter*  $\equiv_B$  est la clôture réflexive et transitive de la relation  $\equiv$  définie par :

$$\dots cuadvb \dots \equiv \dots cudavb \dots \quad a \leq b < c \leq d,$$

$$\dots budavc \dots \equiv \dots buadvc \dots \quad a < b \leq c < d.$$

On a  $\sigma \equiv_B \nu$  ssi on peut *réécrire*  $\sigma$  en  $\nu$  par la règle

$$u.ad.v \longleftrightarrow u.da.v,$$

à condition que  $u|_{[a,d]} \neq \epsilon$  et  $v|_{[a,d]} \neq \epsilon$ .

On appelle  $A^*/\equiv_B$  le *monoïde de Baxter*.

# Lien avec le monoïde sylvestre

## Proposition

Soient  $\sigma$  et  $\nu$  deux permutations. Alors,

$$\sigma \equiv_B \nu \quad \text{ssi} \quad \sigma \equiv_S \nu \quad \text{et} \quad \sigma^\# \equiv_S \nu^\#.$$

## Démonstration.

( $\Rightarrow$ ) : vrai pour  $\equiv$  et donc aussi pour  $\equiv_B$ .

( $\Leftarrow$ ) : se base sur le fait que les classes d'équivalence de  $\equiv_S$  sont des intervalles du permutoèdre et que ce dernier est un treillis. □

On obtient donc le monoïde de Baxter en **réponse** à la question précédente.



# Propriétés du monoïde de Baxter

## Proposition

*Le monoïde de Baxter est compatible avec la **déstandardisation**.*

## Démonstration.

Il faut montrer que pour tout  $u, v \in A^*$ , on a

$$u \equiv_B v \quad \text{ssi} \quad \text{std}(u) \equiv_B \text{std}(v) \quad \text{et} \quad \text{ev}(u) = \text{ev}(v).$$

Ceci est vrai pour la relation d'adjacence  $\equiv$ , c'est donc vrai pour la relation  $\equiv_B$  par transitivité. □

# Propriétés du monoïde de Baxter

## Proposition

Le monoïde de Baxter est compatible aux restrictions aux intervalles d'alphabet.

## Démonstration.

Il faut montrer que pour tout intervalle  $I$  de  $A$  et pour tout  $u, v \in A^*$ , on a

$$u \equiv_B v \quad \text{implique} \quad u|_I \equiv_B v|_I.$$

Ceci est vrai pour la relation d'adjacence  $\equiv$  pour chacune des possibilités de l'intersection  $I \cap \{a, b, c, d\}$ . C'est donc vrai pour la relation  $\equiv_B$  par transitivité. □

# Plan de la suite de l'exposé

## L'algèbre de Hopf de Baxter

La famille combinatoire de Baxter

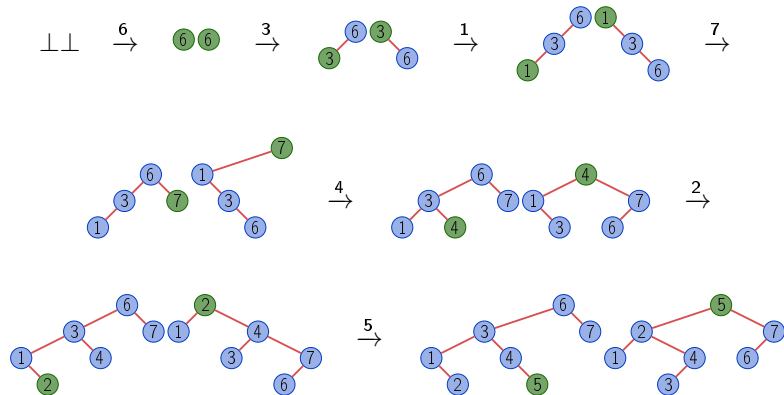
Le monoïde de Baxter

**Une correspondance du type Robinson-Schensted**

L'algèbre de Hopf de Baxter

# Le $\mathbb{P}$ -symbole

Construction du  $\mathbb{P}$ -symbole de  $\sigma := 6317425$  :



# Le $\mathbb{P}$ -symbole

## Théorème

Soient  $\sigma$  et  $\nu$  deux permutations. Alors,

$$\mathbb{P}(\sigma) = \mathbb{P}(\nu) \quad \text{ssi} \quad \sigma \equiv_{\mathbb{B}} \nu.$$

## Démonstration.

( $\Rightarrow$ ) : comme  $\mathbb{P}(\sigma) = \mathbb{P}(\nu)$ , les abr de  $\sigma$  (resp.  $\sigma^{\#}$ ) et de  $\nu$  (resp.  $\nu^{\#}$ ) en insertion  $\leftarrow$  (resp.  $\rightarrow$ ) sont les mêmes. On a donc  $\sigma \equiv_{\mathbb{S}} \nu$  et  $\sigma^{\#} \equiv_{\mathbb{S}} \nu^{\#}$ , ce qui implique  $\sigma \equiv_{\mathbb{B}} \nu$ .

( $\Leftarrow$ ) : comme  $\sigma \equiv_{\mathbb{B}} \nu$ , on a  $\sigma \equiv_{\mathbb{S}} \nu$  (resp.  $\sigma^{\#} \equiv_{\mathbb{S}} \nu^{\#}$ ). Ceci implique que  $\sigma$  et  $\nu$  (resp.  $\sigma^{\#}$  et  $\nu^{\#}$ ) donnent le même abr en insertion  $\leftarrow$  (resp.  $\rightarrow$ ), et donc,  $\mathbb{P}(\sigma) = \mathbb{P}(\nu)$ . □

## Le $\mathbb{Q}$ -symbole

L'**arbre binaire décroissant**  $\text{decr}(\sigma)$  de  $\sigma$  est l'arbre binaire étiqueté sur  $\{1, \dots, |\sigma|\}$  construit récursivement par :

$$\text{decr}(\sigma) := \begin{cases} \perp & \text{si } \sigma = \epsilon, \\ \text{decr}(u) \wedge_{\mathbf{d}} \text{decr}(v) & \text{où } \sigma = u\mathbf{d}v \text{ et } \mathbf{d} = \max \sigma. \end{cases}$$

Construction analogue pour l'**arbre binaire croissant**  $\text{incr}(\sigma)$  de  $\sigma$ .

# Le $\mathbb{Q}$ -symbole

Le  $\mathbb{Q}$ -symbole de  $\sigma$  est le couple d'arbres binaires étiquetés  $(\text{incr}(\sigma^{-1}), \text{decr}(\sigma^{-1}))$ .

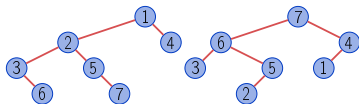


Figure: Le  $\mathbb{Q}$ -symbole de  $\sigma := 6317425$  ( $\sigma^{-1} = 3625714$ ).

Les étiquettes du  $\mathbb{Q}$ -symbole correspondent aux **moments de création** des nœuds dans le  $\mathbb{P}$ -symbole.

# Une correspondance du type Robinson-Schensted

## Théorème

*L'application  $\sigma \mapsto (\mathbb{P}(\sigma), \mathbb{Q}(\sigma))$  réalise une bijection entre  $\mathfrak{S}_n$  et l'ensemble des couples  $((T_L, T_R), (S_L, S_R))$  où :*

- 1.  $(T_L, T_R)$  et  $(S_L, S_R)$  sont deux couples d'arbres binaires jumeaux de même forme ;*
- 2.  $S_L$  (resp.  $S_R$ ) est un arbre binaire croissant (resp. décroissant) ;*
- 3. les lectures infixes de  $S_L$  et  $S_R$  sont les mêmes.*

## Démonstration.

Se base sur le fait que l'application  $\sigma \mapsto (\text{abr}(\sigma), \text{decr}(\sigma^{-1}))$  réalise une bijection entre  $\mathfrak{S}_n$  et l'ensemble des couples  $(T_R, S_R)$  où  $T_R$  et  $S_R$  sont de même forme,  $S_R$  est un arbre binaire décroissant, et la lecture infixe de  $S_R$  est  $\sigma^{-1}$  [Hivert, Novelli, Thibon, 2005]. □



# Nombre de classes d'équivalences de $\mathfrak{S}_n / \equiv_B$

## Théorème

*Il y a autant de classes d'équivalence de  $\mathfrak{S}_n / \equiv_B$  que de permutations de Baxter de taille  $n$ .*

## Démonstration.

L'application  $\mathbb{P} : \mathfrak{S}_n / \equiv_B \rightarrow \mathcal{J}_n$  est une injection. C'est de plus une surjection car il existe un algorithme qui permet, étant donné un couple d'arbres binaires jumeaux  $J$  de calculer une permutation  $\sigma$  telle que  $\mathbb{P}(\sigma) = J$  (impliqué par les résultats de [Dulucq, Guibert, 1994]).  $\square$

Les classes d'équivalence de  $\equiv_B$  peuvent donc être **encodées** par des couples d'arbres binaires jumeaux.

# Le treillis de Baxter

La relation  $\equiv_B$  définit une congruence de treillis pour le permutoèdre. On appelle ce quotient le treillis de Baxter. Les relations de couverture sont des rotations d'arbre binaire.

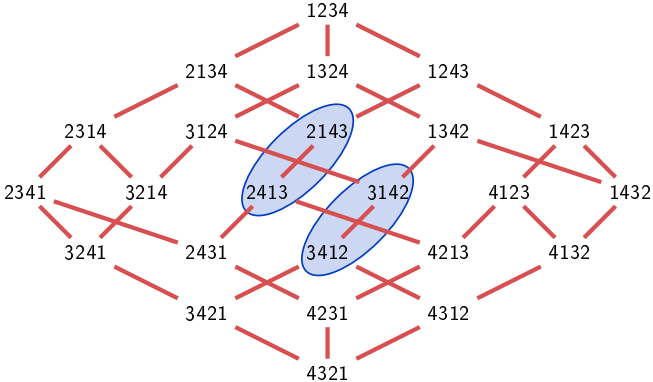


Figure: Le treillis de Baxter d'ordre 4.

# Plan de la suite de l'exposé

## L'algèbre de Hopf de Baxter

La famille combinatoire de Baxter

Le monoïde de Baxter

Une correspondance du type Robinson-Schensted

L'algèbre de Hopf de Baxter

# Construction de **Baxter**

Pour tout couple d'arbres binaires jumeaux  $J$ , on définit l'élément  $\mathbf{P}_J$  de **FQSym** par :

$$\mathbf{P}_J := \sum_{\substack{\sigma \in \mathfrak{S} \\ \mathbb{P}(\sigma) = J}} \mathbf{F}_\sigma.$$

Par exemple :

$$\mathbf{P}_{\begin{array}{c} \circ \\ \diagdown \quad \diagup \\ \circ \quad \circ \end{array}} = \mathbf{F}_{12},$$

$$\mathbf{P}_{\begin{array}{c} \circ \\ \diagdown \quad \diagup \\ \circ \quad \circ \\ \diagdown \quad \diagup \\ \circ \quad \circ \end{array}} = \mathbf{F}_{2143} + \mathbf{F}_{2413},$$

$$\mathbf{P}_{\begin{array}{c} \circ \\ \diagdown \quad \diagup \\ \circ \quad \circ \\ \diagdown \quad \diagup \\ \circ \quad \circ \\ \diagdown \quad \diagup \\ \circ \quad \circ \end{array}} = \mathbf{F}_{542163} + \mathbf{F}_{542613} + \mathbf{F}_{546213}.$$

# Construction de **Baxter**

## Théorème

*L'espace vectoriel engendré par la famille  $\{\mathbf{P}_J\}_{J \in \mathcal{J}}$  forme une sous-AHC de **FQSym**.*

C'est l'AHC **Baxter**. Son produit et coproduit sont bien définis puisque  $\equiv_B$  est

- ▶ une **congruence** pour la concaténation,
- ▶ compatible avec la **déstandardisation**,
- ▶ compatible aux **restrictions aux intervalles d'alphabet**.

Les éléments  $\mathbf{P}_J$  qui apparaissent dans un produit  $\mathbf{P}_{J_0} \cdot \mathbf{P}_{J_1}$  forment un **intervalle** du treillis de Baxter.

# Morphisme de Hopf **Baxter** $\rightarrow$ **PBT**

Comme  $\sigma \equiv_B \nu$  implique  $\sigma \equiv_S \nu$ , la relation  $\equiv_B$  est un raffinement de la relation  $\equiv_S$ . Ceci implique l'existence d'un morphisme de Hopf injectif :

$$\rho : \mathbf{PBT} \rightarrow \mathbf{Baxter}$$

vérifiant :

$$\rho(\mathbf{P}_T) = \sum_{\substack{T' \in \mathcal{AB} \\ J := (T', T) \in \mathcal{J}}} \mathbf{P}_J.$$

Par exemple :

$$\rho\left(\mathbf{P} \begin{array}{c} \bullet \\ \diagup \quad \diagdown \\ \bullet \quad \bullet \\ \diagup \quad \diagdown \\ \bullet \quad \bullet \end{array}\right) = \mathbf{P} \begin{array}{c} \bullet \\ \diagup \quad \diagdown \\ \bullet \quad \bullet \\ \diagup \quad \diagdown \\ \bullet \quad \bullet \end{array} + \mathbf{P} \begin{array}{c} \bullet \\ \diagup \quad \diagdown \\ \bullet \quad \bullet \\ \diagup \quad \diagdown \\ \bullet \quad \bullet \end{array} + \mathbf{P} \begin{array}{c} \bullet \\ \diagup \quad \diagdown \\ \bullet \quad \bullet \\ \diagup \quad \diagdown \\ \bullet \quad \bullet \end{array} .$$

# Bases multiplicatives de **Baxter**

Soient les éléments

$$\mathbf{E}_J := \sum_{J \leq_{\mathbf{B}} J'} \mathbf{P}_{J'} \quad \text{et} \quad \mathbf{H}_J := \sum_{J' \leq_{\mathbf{B}} J} \mathbf{P}_{J'}.$$

Par **triangularité**, les familles  $\{\mathbf{E}_J\}_{J \in \mathcal{J}}$  et  $\{\mathbf{H}_J\}_{J \in \mathcal{J}}$  forment des bases de **Baxter**.

## Proposition

Les familles  $\{\mathbf{E}_J\}_{J \in \mathcal{J}}$  et  $\{\mathbf{H}_J\}_{J \in \mathcal{J}}$  sont des *bases multiplicatives* de **Baxter**. En particulier :

$$\mathbf{E}_{J_0} \cdot \mathbf{E}_{J_1} = \mathbf{E}_{J_0 / J_1} \quad \text{et} \quad \mathbf{H}_{J_0} \cdot \mathbf{H}_{J_1} = \mathbf{H}_{J_0 \setminus J_1}.$$

# Bases multiplicatives de **Baxter**

Par exemple :

$$\mathbf{E} \cdot \mathbf{E} = \mathbf{E},$$

$$\mathbf{H} \cdot \mathbf{H} = \mathbf{H}.$$



# Liberté de **Baxter**

Un couple d'arbres binaires jumeaux  $J$  est dit **indécomposable** si la plus petite permutation  $\sigma$  telle que  $\mathbb{P}(\sigma) = J$  est **connexe**.

## Proposition

*L'algèbre **Baxter** est libre sur les éléments  $\mathbf{E}_J$  tels que  $J$  est indécomposable.*

## Démonstration.

Provient du fait que  $\mathbf{E}_J = \mathbf{E}_\sigma$  où  $\sigma$  est la plus petite permutation telle que  $\mathbb{P}(\sigma) = J$ . La liberté de **Baxter** est impliquée par la liberté de **FQSym** sur les éléments  $\mathbf{E}_\sigma$  avec  $\sigma$  connexe. □

# Bigèbres bidendriformes

Une algèbre  $(A, \cdot)$  admet une structure d'algèbre dendriforme  $(A, \prec, \succ)$  si son produit vérifie (entre autres) :

$$x \cdot y = x \prec y + x \succ y.$$

Une cogèbre  $(C, \Delta)$  admet une structure de cogèbre dendriforme  $(C, \Delta_{\prec}, \Delta_{\succ})$  si son coproduit vérifie (entre autres) :

$$\Delta(x) = 1 \otimes x + \Delta_{\prec}(x) + \Delta_{\succ}(x) + x \otimes 1.$$

Une algèbre de Hopf  $(H, \cdot, \Delta)$  admet une structure de bigèbre bidendriforme si  $(H, \cdot)$  admet une structure d'algèbre dendriforme et  $(H, \Delta)$  une structure de cogèbre dendriforme (avec en plus des relations de compatibilité).

# Structure algébrique de **Baxter**

## Proposition

**Baxter** est autoduale, libre en tant qu'algèbre dendriforme sur ses éléments totalement primitifs, et l'algèbre de Lie de ses éléments primitifs est libre.

## Démonstration.

**Baxter** est une sous-bigèbre bidendriforme de **FQSym**. Ceci étant, les trois propriétés de la proposition sont impliquées par les résultats de Foissy [Foissy, 2005]. □

Malgré son autodualité établie, aucun isomorphisme entre **Baxter** et **Baxter**<sup>\*</sup> n'est connu.

# Conclusion

Ce travail a permis de construire diverses structures combinatoires en rapport avec les objets de Baxter, notamment :

- ▶ une **AHC** ;
- ▶ un **monoïde**, analogue du monoïde plaxique, sylvestre et hypoplaxique ;
- ▶ un **algorithme d'insertion** et une correspondance du type R-S ;
- ▶ un **treillis**.